

有限要素法による拡散問題の解析

京都大学工学部 正員 丹羽義次

京都大学工学部 正員 小林昭一

株式会社 錢高組 正員・青柳計太郎

1. はじめに

有限要素法 (F.E.M.) の構造力学以外への適用は、浸透問題、圧密問題、熱伝導問題等多方面にわたるが、最近、重みつき残差法 (W.R.M.) により、エネルギー原理の存在するものに限らざることなく、F.E.M. の公式化が簡単になされ、注目されている。本研究は、この W.R.M. を地下空洞周辺の拡散問題に適用し数値解析を試みたものである。

2. 解析法 以下簡単に W.R.M. による公式化の概要を述べる。

いま境界 S で囲まれた領域 V で、微分方程式および境界条件が次のように与えられるものとする。

$$V \ni L(\{\phi\}) = h \quad S \ni G(\{\phi\}) = 0$$

ここに L, G は微分演算子である。ここで境界条件を満足する関数、すなはち試験関数として $\{\phi\}_t = [N]\{\phi\}$ を逆がと一般に微分方程式は満足されず

$$L(\{\phi\}_t) - h = R \neq 0$$

残余 R が残る。この残余 R を小さくする方法とし、重み関数 w_i を適当に選ぶ

$$\iint_V w_i R dV = \iint_V w_i [L(\{\phi\}_t) - h] dV = 0$$

とする方法を考えられる。これが W.R.M. である。この w_i の選ぶ方にはいろいろ考えられるが、本研究では、 $w_i = N_i$ と選ぶ方法、すなはち Galerkin 法を適用して解析した。

3. W.R.M. による拡散方程式の数値解析

地中での拡散方程式は次のように与えられる。

$$(D_x \frac{\partial^2 C}{\partial x^2} + D_y \frac{\partial^2 C}{\partial y^2}) - (v_x \frac{\partial C}{\partial x} + v_y \frac{\partial C}{\partial y}) - (\frac{P}{e} K_{ab} + \lambda) C - (1 + \frac{P}{e} K_{ad}) \frac{\partial C}{\partial t} = 0 \quad (1)$$

ここに C : 気相中のイオン濃度 (g/cm^3) D_x, D_y : 拡散係数 (cm^2/sec) v_x, v_y : 流速 (cm/sec) P : 土砂粒の真密度 (g/cm^3) e : 滅菌率 K_{ab} : イオンの吸着係数 ($cm^3/g.sec$) K_{ad} : イオンの付着係数 (cm^3/g) λ : 減衰係数 (sec^{-1}) (1) 式を解くためには、まず v_x, v_y を決定しなければならない。気体の流速が压力変化のみによることを假定すれば、その関係は次のように与えられる。

$$v_x = -\frac{K_x}{\gamma_w} \frac{\partial P}{\partial x}, \quad v_y = -\frac{K_y}{\gamma_w} \frac{\partial P}{\partial y} \quad (2), (3)$$

ここに K_x, K_y : 気体の透気係数 (cm^3/sec) P : 気体の圧力 (kg/cm^2) γ_w : 単位体積水の重量 (g/cm^3) である。次に、気体の連続の方程式を压力の現象で表わすと

$$K_x \frac{\partial^2 P}{\partial x^2} + K_y \frac{\partial^2 P}{\partial y^2} = \alpha \frac{\partial P}{\partial t} \quad (4)$$

$$\alpha = \beta \frac{e}{1+e} \quad \beta: 空気の圧縮率 \quad e: 呼吸率$$

したがって (2), (3), (4) から v_x, v_y を用いて、(1) に対して W.R.M. を適用すると次のようになる。

$$\iint_V N_i \left[\left(D_x \frac{\partial^2 C}{\partial x^2} + D_y \frac{\partial^2 C}{\partial y^2} \right) + (v_x \frac{\partial C}{\partial x} + v_y \frac{\partial C}{\partial y}) + \left(\frac{P}{e} K_{ab} + \lambda \right) C + \left(1 + \frac{P}{e} K_{ad} \right) \frac{\partial C}{\partial t} \right] dx dy = 0 \quad (5)$$

これを Matrix の形で表示すれば

$$([R_1] + [R_2] + [R_3] + [R_4]) \{G\} = [R_+] \{C\}_{z-\Delta z} + \{F\}$$

$$[R_1] = \frac{1}{4\Delta} \begin{bmatrix} D_x b_i b_i + D_y c_i c_i, & D_x b_i b_j + D_y c_i c_j, & D_x b_i b_m + D_y c_i c_m \\ D_x b_j b_i + D_y c_j c_i, & D_x b_j b_j + D_y c_j c_j, & D_x b_j b_m + D_y c_j c_m \\ D_x b_m b_i + D_y c_m c_i, & D_x b_m b_j + D_y c_m c_j, & D_x b_m b_m + D_y c_m c_m \end{bmatrix}$$

Sym.

$$[R_2] = \frac{\Delta}{6} \begin{bmatrix} v_x b_i + v_y c_i, & v_x b_j + v_y c_j, & v_x b_m + v_y c_m \\ \dots & \dots & \dots \end{bmatrix}$$

$$[R_3] = \frac{\Delta}{12} \left(\frac{\rho}{e} K_{ab} + \lambda \right) \begin{bmatrix} 2 & 1 & 1 \\ 1 & 2 & 1 \\ 1 & 1 & 2 \end{bmatrix}$$

$$[R_4] = \frac{\Delta}{12} \cdot \frac{1 + \frac{\rho}{e} K_{ad}}{\Delta z} \begin{bmatrix} 2 & 1 & 1 \\ 1 & 2 & 1 \\ 1 & 1 & 2 \end{bmatrix}$$

$$\iint N_i N_j dz dy = \frac{\Delta}{12} (i=j)$$

$$= \frac{\Delta}{6} (i=j)$$

$$\{F\} = \int_a N_i \frac{\partial C}{\partial x} ds$$

となる。 Δt に適し逐次計算していくば任意時刻の解が求められる。

4. 計算例

図-1のような地下に開削された空洞を想定し、地中岩盤の隙間比 $e = 0.5$ 遷気係数 $k_x = k_y = 10^{-3}$ とした時の空洞内の圧力変化を図-2に示す。図-3には空洞周辺の圧力分布の一例と、図4、図5には流速分布の一例を示す。 $K_{ab} = 0.02$ $D_x = D_y = 0.02$ $K_{ad} = 0.02$ $\lambda = 0.043 \times 10^{-7}$ とした時のイオン濃度分布の例等については当該詳細を發表する。

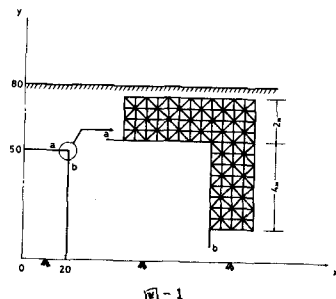


図-1

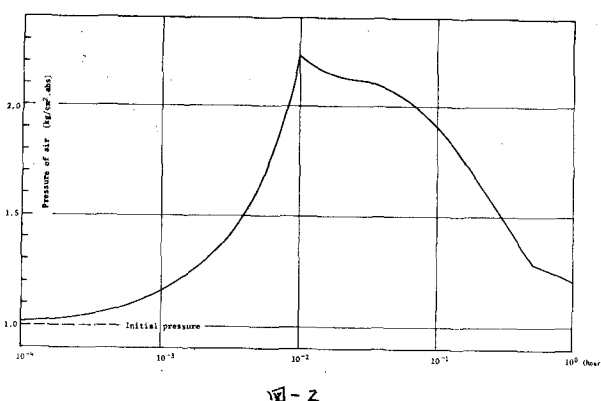


図-2

参考文献

- (1) 小林昭一, 有限要素法の考え方, 電設技術者のための有限要素法の基礎と応用. PP45-65 (1973)

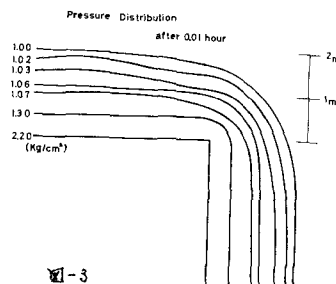


図-3

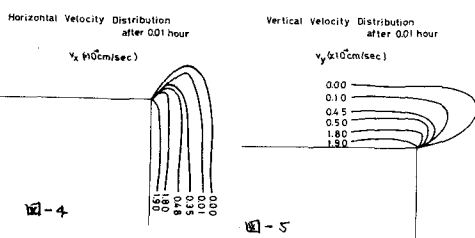


図-4

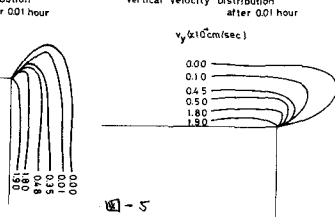


図-5